

Estudo das Características de Distorção Não Linear de Intermodulação de Desmoduladores de FM por PLL

Nuno Borges Carvalho, Raquel Castro Madureira, José Carlos Pedro

Resumo- A distorção não linear de um desmodulador de FM por PLL, é estudada usando uma aproximação por séries de Volterra. Esta técnica permite analisar o sistema não linear no domínio da frequência sujeito a sinais periódicos, não periódicos e aleatórios. O estudo das não linearidades considerará, o VCO e o detector de fase (PD), não lineares. Propõe-se ainda, uma hipótese de linearização para este sistema.

Abstract- The nonlinear distortion of a PLL frequency discriminator is addressed using the Volterra Series approach. The analysis, made entirely in the frequency domain, allows distortion calculations for periodic and non-periodic sets of discrete excitation frequencies (harmonic and intermodulation distortion up to 3rd order) and random inputs. It also includes, simultaneously, the two major sources of distortion in a PLL: Phase Detector and VCO.

In addition a method for reduction of non-linear distortion is investigated.

I. MOTIVAÇÃO*

Um dos possíveis cenários para futuras redes móveis, baseia-se num elevado número de células de pequenas dimensões suportadas por emissores receptores, denominados Estação-Base. Estas serão depois ligadas à rede em nós, Estação-Central, que, por razões de rentabilidade, deverão concentrar o máximo de funções.

Nesta situação as Estações-Base serão somente constituídas por um emissor e receptor, não fazendo qualquer processamento de banda base ou desmodulação. Isto significa que no caminho entre a Estação-Central e a Estação-Base concentra-se um elevado número de canais, correspondendo a cada um uma certa frequência de portadora (FDM). Uma das mais importantes desvantagens deste sistema é a distorção não linear de intermodulação que provoca interferência entre canais distintos. Esta distorção pode ser atribuída, fundamentalmente, ao processo de modulação de amplitude da luz no díodo LASER, que ilumina a fibra óptica, constituinte do suporte físico da ligação.

Uma forma de atenuar este fenómeno consiste em substituir o sinal no formato FDM por um modulado em frequência, FM, que, não tendo amplitude variável, é mais

insensível aquele tipo de distorção não linear. A desvantagem da FM reside na sua maior complexidade, e, por outro lado, nas não linearidades residuais do modulador, um VCO (*Voltage Controlled Oscillator*) e do desmodulador, uma PLL (*Phase Locked Loop*).

II. INTRODUÇÃO

As PLL's, são extensivamente utilizadas como discriminadores de frequência, devido ao acrescido valor do limiar da relação sinal-ruído[2], razão pela qual, o seu desempenho neste tipo de utilização já foi estudado por vários autores[2-6]. Destes trabalhos, apenas a análise de VanTrees[3], foi realizada usando a técnica das séries de Volterra. Esta técnica permite o tratamento da distorção harmónica e de intermodulação de um sinal de espectro de frequências arbitrário e, se necessário, em presença de ruído.

Note-se que a técnica de balanço harmónico utilizada por Takahashi[6], que é uma técnica híbrida de tempo e frequência, foi apenas desenvolvida para sinais periódicos.

Outra vantagem das séries de Volterra, consiste na obtenção de soluções analíticas fechadas, o que representa, claramente, uma melhoria relativamente a outras técnicas de análise não linear. Por outro lado, é reconhecido que o seu maior inconveniente decorre dos laboriosos cálculos necessários[7,8].

A associação deste árduo trabalho com a expansão em série de Taylor das funções características do PD e VCO, torna esta análise inadequada à previsão do comportamento não linear de ordens superiores à 3ª, o que, normalmente, também não é necessário em sistemas reais.

O estudo tratado neste artigo é, segundo o nosso conhecimento, uma extensão a outros trabalhos, pois inclui uma completa análise do modelo da PLL, considerando o detector de fase e o VCO ambos não lineares. As Funções de Transferência Não Lineares, FTNL, de primeira, segunda e terceira ordens calculadas, são depois utilizadas para prever a distorção não linear de intermodulação. Os resultados assim obtidos são comparados com simulações no domínio do tempo, utilizando o SIMULAB[9], de forma a avaliar a validade do método.

Com base nessas FTNL's são calculadas as FTNL's de dois blocos em cascata, modulador e desmodulador,

*Parte deste trabalho foi inserido no âmbito da disciplina de projecto[1].

inferindo assim conclusões acerca da possibilidade de linearização de todo o sistema de transmissão de FM.

III. MODELO NÃO LINEAR DA PLL

A montagem da PLL como desmodulador de FM é apresentada na Fig. 1. Considera-se que o detector de fase pode ser descrito por $V_1=g(\Theta_e)$; o filtro da malha é passivo ou activo, mas linear, com resposta impulsional $f(t)$ e função de transferência $F(s)$, e o VCO apresenta uma frequência de saída, Ω_0 , que depende instantaneamente da tensão, apresentada à sua entrada, V_2 , segundo a lei : $\Omega_0=x(V_2)$.

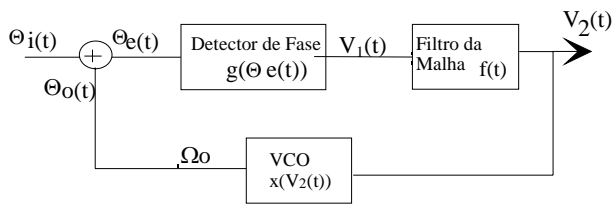


Fig. 1 - Modelo da PLL.

Para se aplicar a técnica das séries de Volterra, é necessário decompor em série de Taylor, à volta de algum ponto de repouso (Θ_{eQ}, V_{2Q}) , as funções $g(\Theta_e)$ e $x(V_2)$. Desse modo, obtêm-se para o detector de fase:

$$V_1(\Theta_e, \Theta_{eQ}) = g(\Theta_{eQ}) + \left. \frac{dg(\Theta_{eQ})}{d\Theta_e} \right|_{\Theta_{eQ}} (\Theta_e - \Theta_{eQ}) + \frac{1}{2!} \left. \frac{d^2g(\Theta_e)}{d\Theta_e^2} \right|_{\Theta_{eQ}} (\Theta_e - \Theta_{eQ})^2 + \frac{1}{3!} \left. \frac{d^3g(\Theta_e)}{d\Theta_e^3} \right|_{\Theta_{eQ}} (\Theta_e - \Theta_{eQ})^3 + \dots \quad (1)$$

Ou, em termos duma tensão incremental, $v_1=V_1(\Theta_e, \Theta_{eQ})-g(\Theta_{eQ})$, e erro de fase $\theta_e=\Theta_e-\Theta_{eQ}$:

$$v_1(\theta_e) = c_1\theta_e + c_2\theta_e^2 + c_3\theta_e^3 + \dots \quad (2)$$

De igual modo, para o VCO obtêm-se:

$$\Omega_0(V_2, V_{2Q}) = x(V_{2Q}) + \left. \frac{dx(V_{2Q})}{dV_2} \right|_{V_{2Q}} (V_2 - V_{2Q}) + \frac{1}{2!} \left. \frac{d^2x(V_2)}{dV_2^2} \right|_{V_{2Q}} (V_2 - V_{2Q})^2 + \frac{1}{3!} \left. \frac{d^3x(V_2)}{dV_2^3} \right|_{V_{2Q}} (V_2 - V_{2Q})^3 + \dots \quad (3)$$

$$\omega_0(v_2) = d_1v_2 + d_2v_2^2 + d_3v_2^3 + \dots, \quad (4)$$

onde as variáveis incrementais são definidas como $\omega_0=\Omega_0(V_2, V_{2Q})-x(V_{2Q})$ e $v_2=V_2-V_{2Q}$.

A determinação de c_k e d_k em (2) e (4) requer o conhecimento do estado de repouso da PLL: (θ_{eQ}, V_{2Q}) .

Quando o VCO tem de seguir determinada frequência de entrada, Ω_i , necessita de uma tensão estática de controlo $V_{2Q} = x^{-1}(\Omega_i - \Omega_{oc})$, para a qual um erro de fase

$$\Theta_{eQ} = g^{-1} \left[\frac{V_{2Q}}{F(0)} \right] = g^{-1} \left[\frac{x^{-1}(\Omega_i - \Omega_{oc})}{F(0)} \right] \text{ deve existir.}$$

Por exemplo, quando um detector de fase é um misturador analógico com uma função de transferência sinusoidal, $V_1 = K_d \sin(\Theta_e)$, e o VCO tem uma frequência livre, Ω_0 , então

$$\Theta_{eQ} = \arcsin \left[\frac{x^{-1}(\Omega_i - \Omega_{oc})}{K_d F(0)} \right], \text{ que não é mais do que o}$$

seu ponto estático.

Porque o comportamento dinâmico da PLL é descrito mais convenientemente em termos de fase de entrada do que em termos de frequência, e a passagem de frequência para fase é imediata, será esta a abordagem a utilizar neste artigo.

O comportamento dinâmico da PLL, que relaciona a fase de saída incremental $\theta_0(t)$, erro de fase $\theta_e(t)$ ou tensão de saída $v_2(t)$, com fase de entrada $\theta_i(t)$, pode ser directamente determinado no domínio temporal, como um sistema de equações integrais não lineares:

$$v_2(t) = v_0(t) = \int_{-\infty}^{\infty} f(\tau)v_1(t-\tau)d\tau = \int_{-\infty}^{\infty} f(\tau)[c_1\theta_e(t-\tau) + c_2\theta_e(t-\tau)^2 + c_3\theta_e(t-\tau)^3]d\tau \quad (5)$$

$$\theta_e(t) = \theta_i(t) - \theta_0(t), \quad (6)$$

$$\theta_0(t) = \int_{-\infty}^t [d_1v_2(u) + d_2v_2(u)^2 + d_3v_2(u)^3]du. \quad (7)$$

Quando a fase de entrada no domínio da frequência, pode ser representada por uma soma de sinusóides da forma:

$$\theta_i(t) = \frac{1}{2} \sum_{q=-Q}^Q \Theta_{s,q} e^{j\omega_q t}. \quad (8)$$

a teoria de Volterra-Wiener[7,8], diz que a tensão de saída pode ser obtida pela seguinte série de funções seguinte:

$$v_0(t) = \sum_{n=1}^N v_0^{(n)}(t), \quad (9)$$

Onde a tensão de saída não linear de n'ésima ordem é dada por:

$$v_0^{(n)}(t) = \frac{1}{2^n} \sum_{q_1=-Q}^Q \dots \sum_{q_n=-Q}^Q \Theta_{s,q_1} \dots \Theta_{s,q_n} \cdot H^{(n)}(\omega_{q_1}, \dots, \omega_{q_n}) e^{j(\omega_{q_1} + \dots + \omega_{q_n})t} \quad (10)$$

Sendo assim, a resposta do sistema de n'ésima ordem é completamente identificada pela função de transferência não linear de n'ésima ordem $H^{(n)}(\omega_{q_1}, \dots, \omega_{q_n})$.

Um dos métodos utilizados para calcular as sucessivas $H^{(n)}(\omega_{q_1}, \dots, \omega_{q_n})$ é conhecido como método de prova (*harmonic input* ou *probing method*)[7,8]. Esta é a técnica utilizada nas próximas secções para o cálculo da resposta de ordem n do sistema:

$$v_0^{(n)}(t) = n! H^{(n)}(s_1, \dots, s_n) e^{(s_1 + \dots + s_n)t}, \quad (11)$$

quando a entrada é uma soma de exponenciais complexas do tipo:

$$\theta_i(t) = e^{s_1 t} + \dots + e^{s_n t}. \quad (12)$$

IV. CÁLCULO DAS FUNÇÕES DE TRANSFERÊNCIA NÃO LINEARES DO SISTEMA (FTNL'S)

A. Modulador (VCO)

Como modulador utiliza-se um simples VCO, descrito pela função característica (3,4).

1. FTNL de 1ª ordem

Assume-se uma excitação de entrada de 1ª ordem $v_i(t) = e^{st}$, (13)

e procura-se uma saída de 1ª ordem:

$$\theta_0^{(1)}(t) = H_M^{(1)}(s) e^{st}, \quad (14)$$

então, substituindo (13) e (14) em (7) obtém-se¹:

$$H_M^{(1)}(s) = \frac{d_{1M}}{s}. \quad (15)$$

Esta expressão não é mais do que a função de transferência do VCO, resultante duma análise linear convencional.

2. FTNL de 2ª ordem

A excitação de 2ª ordem é:

$$v_i(t) = e^{s_1 t} + e^{s_2 t}, \quad (16)$$

que produz uma saída de 2ª ordem do tipo $\theta_0^{(2)}(t) = 2! H_M^{(2)}(s_1, s_2) e^{(s_1 + s_2)t}$. (17)

Por substituição de (16) e (17) em (7), e escolhendo apenas os termos de 2ª ordem obtém-se:

$$H_M^{(2)}(s_1, s_2) = \frac{d_{2M}}{s_1 + s_2}. \quad (18)$$

3. FTNL de 3ª ordem

Para a 3ª ordem, tem-se como excitação de entrada:

$$v_i(t) = e^{s_1 t} + e^{s_2 t} + e^{s_3 t}, \quad (19)$$

que produz uma saída:

$$\theta_0^{(3)}(t) = 3! H_M^{(3)}(s_1, s_2, s_3) e^{(s_1 + s_2 + s_3)t}. \quad (20)$$

De igual modo, por substituição de (19) e (20) em (7), e escolhendo os termos de 3ª ordem obtém-se:

$$H_M^{(3)}(s_1, s_2, s_3) = \frac{d_{3M}}{s_1 + s_2 + s_3}. \quad (21)$$

B. Desmodulador (PLL)

Como desmodulador de FM utiliza-se uma PLL, na configuração da Fig.1.

1. FTNL de 1ª ordem

De modo similar ao seguido para o modulador, utiliza-se uma excitação de entrada:

$$\theta_i(t) = e^{st}, \quad (22)$$

procurando termos de saída do tipo $v_0^{(1)}(t) = H_D^{(1)}(s) e^{st}$ (23)

Obtém-se, por substituição de (22) e (23) em (5)-(7), a expressão para FTNL de 1ª ordem :

$$H^{(1)}(s) = \frac{s \cdot c_1 F(s)}{s + c_1 d_1 F(s)}. \quad (23)$$

que se reconhece como a expressão resultante de uma técnica linear de análise.

2. FTNL de 2ª ordem

Novamente, usando uma excitação

$$\theta_i(t) = e^{s_1 t} + e^{s_2 t} \quad (24)$$

e pretendendo obter termos em:

$$v_0^{(2)}(t) = 2! H_D^{(2)}(s_1, s_2) e^{(s_1 + s_2)t}, \quad (25)$$

substitui-se (24) e (25) em (5)-(7) resultando para FTNL de 2ª ordem:

$$H_D^{(2)}(s_1, s_2) = \frac{(s_1 + s_2)F(s_1 + s_2)}{s_1 + s_2 + c_1 d_{1D} F(s_1 + s_2)} \left[c_2 + c_2 d_{1D}^2 \frac{H_D^{(1)}(s_1) H_D^{(1)}(s_2)}{s_1 s_2} - c_2 d_{1D} \left(\frac{H_D^{(1)}(s_1)}{s_1} + \frac{H_D^{(1)}(s_2)}{s_2} \right) - c_1 d_{2D} \frac{H_D^{(1)}(s_1) H_D^{(1)}(s_2)}{s_1 + s_2} \right] \quad (26)$$

¹ Nota: d_{1M} , d_{2M} e d_{3M} correspondem aos coeficientes da expressão(4) do VCO do modulador. d_{1D} , d_{2D} e d_{3D} correspondem aos coeficientes da expressão (4) do VCO do desmodulador.

3. FTNL de 3ª ordem

Para a 3ª ordem a excitação é:

$$\theta_i(t) = e^{s_1 t} + e^{s_2 t} + e^{s_3 t} \tag{27}$$

procurando-se termos da forma:

$$v_0^{(3)}(t) = 3! H_D^{(3)}(s_1, s_2, s_3) e^{(s_1 + s_2 + s_3)t} \tag{28}$$

De novo, substituindo (27) e (28) em (5)-(7), tem-se para FTNL de 3ª ordem:

$$c_1=0.78V/rad \quad c_2=-0.05V/rad^2 \quad c_3=-0.13V/rad^3$$

$$d_1=1.4Mrad/(Vs) \quad d_2=-49.4Krad/(V^2s) \quad d_3=937.8rad/(V^3s)$$

Para filtro da malha escolheu-se um filtro RC de pólo único:

$$F(s) = \frac{1}{1+sRC}, \tag{30}$$

o qual tem uma frequência de corte $\omega_c=250Krad/s$ e impõe uma frequência natural de $\omega_n=530.3Krad/s$ na PLL.

Devido aos conhecidos problemas dos simuladores no domínio do tempo no tratamento de frequências não comensuráveis, limitamos as nossas comparações à

$$H_D^{(3)}(s_1, s_2, s_3) = \frac{(s_1 + s_2 + s_3) F(s_1 + s_2 + s_3)}{s_1 + s_2 + s_3 + c_1 d_{1D} F(s_1 + s_2 + s_3)} \cdot \left[-\frac{1}{3} \frac{c_1 d_{2D}}{s_1 + s_2 + s_3} \sum_{i=1}^3 \sum_{j=1}^3 \sum_{k=1}^3 H_D^{(1)}(s_i) H_D^{(2)}(s_j, s_k) \right]_{i \neq j \neq k}$$

$$+ c_1 d_{3D} \frac{H_D^{(1)}(s_1) H_D^{(1)}(s_2) H_D^{(1)}(s_3)}{s_1 + s_2 + s_3} - \frac{1}{3} c_2 d_{1D} \sum_{i=1}^3 \sum_{j=1}^3 \frac{H_D^{(2)}(s_i, s_j)}{s_i + s_j} - \frac{1}{3} c_2 d_{2D} \sum_{i=1}^3 \sum_{j=1}^3 \frac{H_D^{(1)}(s_i) H_D^{(1)}(s_j)}{s_i + s_j} +$$

$$+ \frac{1}{3} c_2 d_{1D} d_{2D} H_D^{(1)}(s_1) H_D^{(1)}(s_2) H_D^{(1)}(s_3) \sum_{i=1}^3 \sum_{j=1}^3 \sum_{k=1}^3 \frac{1}{s_i (s_j + s_k)} + c_3 - \frac{1}{3} c_2 d_{1D}^2 \sum_{i=1}^3 \sum_{j=1}^3 \sum_{k=1}^3 \frac{H_D^{(1)}(s_i) H_D^{(2)}(s_j, s_k)}{s_i \cdot (s_j + s_k)}_{i \neq j \neq k}$$

$$- c_3 d_{1D}^3 \frac{H_D^{(1)}(s_1) H_D^{(1)}(s_2) H_D^{(1)}(s_3)}{s_1 + s_2 + s_3} - \frac{1}{2} c_3 d_{1D}^2 \sum_{i=1}^3 \sum_{j=1}^3 \frac{H_D^{(1)}(s_i) H_D^{(1)}(s_j)}{s_i \cdot s_j} + c_3 d_{1D} \sum_{i=1}^3 \frac{H_D^{(1)}(s_i)}{s_i} \tag{29}$$

V. VALIDAÇÃO DOS RESULTADOS OBTIDOS PARA AS FTNL'S

Por forma a analisar os resultados obtidos para as FTNL's, no desempenho da PLL, implementou-se um programa baseado na linguagem MATLAB[9], que utiliza as expressões das FTNL deduzidas. Usando valores para a expansão em série de Taylor do PD e VCO, obtidos por via experimental, calcularam-se valores para a distorção não linear do sistema modulador e desmodulador.

Para validar estes resultados compararam-se com outros calculados usando um simulador que usa técnicas de análise no domínio do tempo, SIMULAB[9].

Foi utilizado um detector de fase, PD, sinusoidal com $K_d=0.79V/rad$ e um VCO baseado num circuito LC, de frequência central $f_0=13MHz$ e $K_0=1.4Mrad/(Vs)$.

Com vista a uma maior generalidade, assumiu-se que a frequência central do VCO modulador era ligeiramente diferente, $\Delta f=22.9KHz$. Usando este ponto estático obtiveram-se para parâmetros não lineares de (2) e (4):

distorção harmónica. Neste caso, como modulador, utilizamos um VCO linear, de modo a observar a distorção introduzida pelo desmodulador de FM por PLL. As figuras Fig(2) a Fig(4) representam os resultados da 1ª, 2ª e 3ª harmónicas de tensão (dBV) em função da tensão de entrada² (dBV). Estes resultados foram estendidos até $V_0=0.6V$, ponto para o qual a PLL começa a perder sincronismo, o qual pode ser considerado como o nível até ao qual a PLL serve como desmodulador de FM.

Da observação destas figuras pode concluir-se que a aplicação das séries de Volterra, é perfeitamente justificável em quase toda a gama de utilização, excepto para a zona superior de níveis da 2ª harmónica. Isto significa que os maiores problemas das séries de Volterra apresentados na introdução, não são muito severos.

As figuras, Fig(5) a Fig(7), apresentam a 1ª, 2ª e 3ª ordem de distorção harmónica em ordem à frequência de entrada para uma amplitude fixa de entrada de $V_i=0.1V$. A equivalência entre as duas simulações é agora evidente. Este resultados, associados ao facto de as FTNL's serem

² Fixou-se a frequência de excitação em 30KHz.

do tipo forma fechada, e, em consequência, computacionalmente muito mais eficientes, demonstram a utilidade, do uso das técnicas de séries de Volterra na análise do comportamento não linear de PLL's.

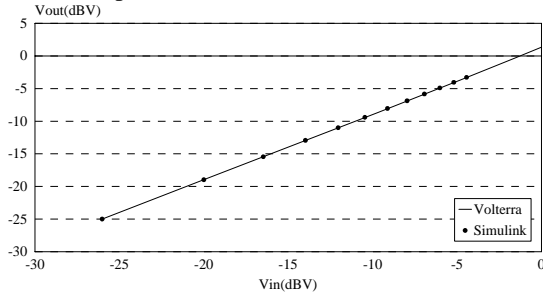


Fig. 2 - Comparação da fundamental da tensão de saída usando simulação por Volterra e no domínio do tempo.

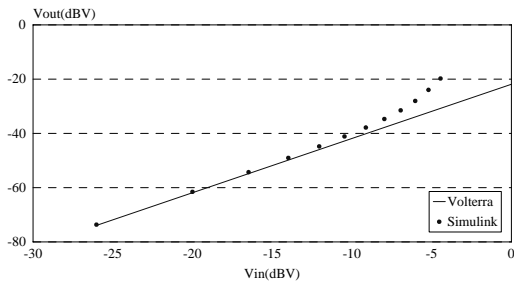


Fig. 3 - Comparação da 2ª harmônica da tensão de saída usando simulação por Volterra e no domínio do tempo

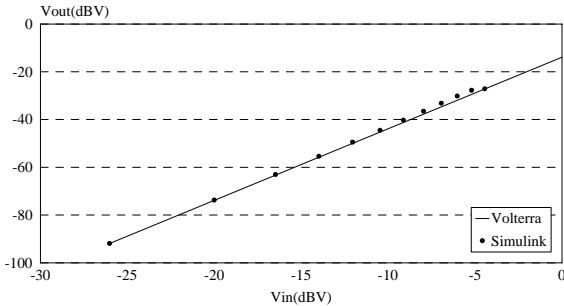


Fig. 4 - Comparação da 3ª harmônica da tensão de saída usando simulação por Volterra e no domínio do tempo

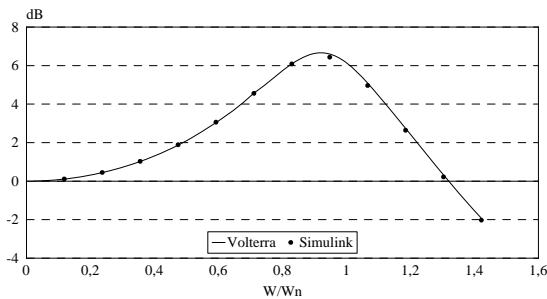


Fig. 5 - Comparação da fundamental da tensão de saída em ordem à frequência usando simulação por Volterra e no domínio do tempo

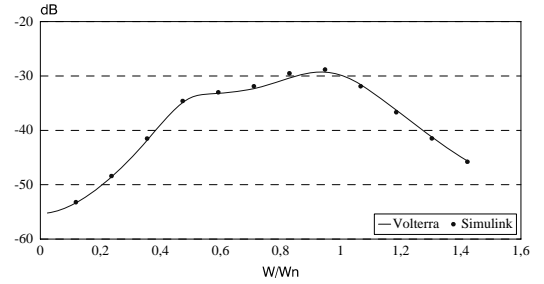


Fig. 6 - Comparação da 2ª harmônica da tensão de saída em ordem à frequência usando simulação por Volterra e no domínio do tempo

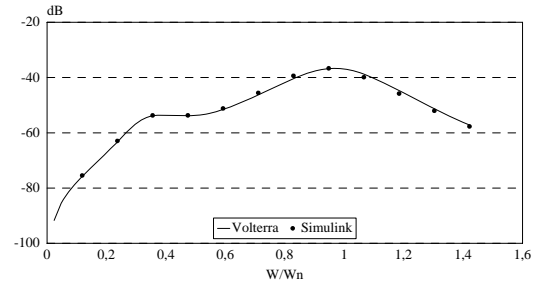


Fig. 7 - Comparação da 3ª harmônica da tensão de saída em ordem à frequência usando simulação por Volterra e no domínio do tempo

VI. LINEARIZAÇÃO DO SISTEMA

Considere-se dois blocos (A e B) não lineares em cascata. Utilizando o método de prova, obtém-se para as expressões não lineares de 1ª, 2ª e 3ª ordem, as seguintes expressões:

$$H_{1T}(s) = H_{1A}(s)H_{1B}(s);$$

$$H_{2T}(s_1, s_2) = H_{2A}(s_1, s_2)H_{1B}(s_1 + s_2) + H_{1A}(s_1)H_{1A}(s_2) \cdot H_{2B}(s_1, s_2)$$

$$H_{3T}(s_1, s_2, s_3) = H_{3B}(s_1, s_2, s_3)H_{1A}(s_1)H_{1A}(s_2)H_{1A}(s_3) + \\ + 2/3 H_{2B}(s_3, s_1 + s_2) \cdot H_{1A}(s_3) \cdot H_{2A}(s_1, s_2) + \\ + 2/3 H_{2B}(s_2, s_1 + s_3) \cdot H_{1A}(s_2) \cdot H_{2A}(s_1, s_3) + \\ + 2/3 H_{2B}(s_1, s_3 + s_2) \cdot H_{1A}(s_1) \cdot H_{2A}(s_3, s_2) + \\ + H_{1B}(s_1 + s_2 + s_3)H_{3A}(s_1, s_2, s_3).$$

Como se pode observar pelas expressões anteriores, a expressão do 3º operador não linear, é bastante complexa, mesmo nesta sua forma mais simples.

Um estudo realizado em base em simulações (Fig.8) revelou, como de resto já havia sido afirmado por outros autores, para a situação de PD e VCO não lineares mas não simultâneos[2], que as não linearidades associadas à característica sinusoidal do PD, são determinantes na resposta de 3ª ordem de PLL's com VCO's normalmente utilizados na prática.

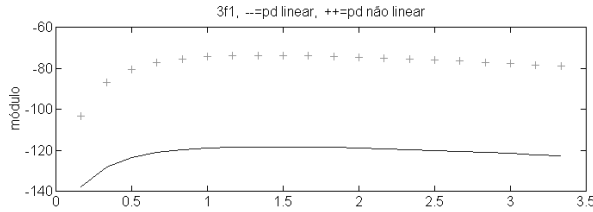


Fig. 8 - Comparação da distorção harmônica não linear de 3ª ordem entre PD linear e PD não linear.

Assim, se se visa linearizar o sistema de transmissão, está claro que a primeira coisa a fazer é substituir o PD sinusoidal por um triangular. Neste caso $c_2=c_3=0$ e uma solução analítica menos complexa da cascata é já possível.

A. VCO's não lineares, PD linear

Num sistema de transmissão de FM com VCO e PLL seria de esperar que, qualitativamente, o sistema fosse linear se VCO_M e VCO_D fossem iguais. Com efeito, a condição de sincronismo da PLL impõe que, para cada desvio de frequência, a PLL é obrigada a desenvolver uma tensão de saída exactamente igual, em cada instante, à tensão de entrada aplicada ao VCO modulador.

Com esta ideia em mente, calcularam-se as FTNL's dos dois blocos em cascata, obtendo-se para 1ª, 2ª e 3ª FTNL totais as seguintes expressões:

$$H^{(1)}(s) = \frac{c_1 d_{1M} F(s)}{s + c_1 d_{1D} F(s)}, \tag{31}$$

$$H^{(2)}(s_1, s_2) = \frac{d_{2M}}{d_{1M}} H^{(1)}(s_1 + s_2) \cdot \left[1 - \frac{d_{2D}}{d_{2M}} H^{(1)}(s_1) H^{(1)}(s_2) \right] \tag{32}$$

$$H^{(3)}(s_1, s_2, s_3) = \frac{d_{3M}}{d_{1M}} H^{(1)}(s_1 + s_2 + s_3) \cdot \left\{ \left[1 - \frac{d_{3D}}{d_{3M}} H^{(1)}(s_1) H^{(1)}(s_2) H^{(1)}(s_3) \right] - \frac{2}{3} \frac{d_{2D}}{d_{3M}} \cdot \left[H^{(1)}(s_1) H^{(2)}(s_2, s_3) + H^{(1)}(s_2) H^{(2)}(s_1, s_3) + H^{(1)}(s_3) H^{(2)}(s_2, s_1) \right] \right\} \tag{33}$$

Por observação das expressões anteriores, conclui-se que o sistema é linearizado para:

$$d_{1M}=d_{1D}, d_{2M}=d_{2D}, d_{3M}=d_{3D}$$

Confirma-se assim que a ideia original é válida, apesar de se ter de obedecer às seguintes imposições:

$$H^{(1)}(s_1) \cdot H^{(1)}(s_2) = 1, \text{ linearização de } 2^\text{ª} \text{ ordem};$$

$H^{(1)}(s_1) \cdot H^{(1)}(s_2) \cdot H^{(1)}(s_3) = 1$, linearização de 3ª ordem.

Para se obter $H^{(1)}(s_1) \cdot H^{(1)}(s_2) = 1$, $H^{(1)}(s_1)$ tem de obedecer às seguintes condições:

$$\left| H^{(1)}(s_1) \right| \cdot \left| H^{(1)}(s_2) \right| = 1 \text{ e } \angle H^{(1)}(s_1) + \angle H^{(1)}(s_2) = 0^\circ$$

Se se considerar que $s_1 \approx s_2$, então:

$$\left| H^{(1)}(s_1) \right|^2 = 1 \Rightarrow \left| H^{(1)}(s_1) \right| = 1 \text{ e}$$

$$2 \cdot \angle H^{(1)}(s_1) = 0^\circ \Rightarrow \angle H^{(1)}(s_1) = 0^\circ$$

Pelo que, para se obter a linearização total, ou seja $H^{(2)}(s_1, s_2) = 0$, deve-se ter $\angle H^{(1)}(s_1) = 180^\circ$. O mesmo se verifica quando se pretende a linearização de 3ª ordem.

Para se contabilizar a influência de pequenos desvios da condição ideal, considerou-se que: $H^{(1)}(s) = (1 - \delta) e^{j\theta}$, com δ um pequeno desvio da unidade e θ um pequeno desvio de 0° . Obteve-se assim para a distorção de 2ª ordem, considerando $s_1 \approx s_2$, a menos de um factor de escala:

$$1 - H^{(1)}(s_1) H^{(1)}(s_2) = 1 - H^{(1)}(s_1)^2 = 1 - (1 - \delta)^2 e^{j2\theta} = 1 - (1 - 2\delta) \cos(2\theta) - j(1 - 2\delta) \sin(2\theta)$$

A expressão anterior, supõe que se $\delta \ll 1 \Rightarrow (1 - \delta)^2 \approx 1 - 2\delta$.

O resultado é assim:

$$\left| 1 - H^{(1)}(s) \cdot H^{(1)}(s) \right| = \sqrt{[1 - (1 - 2\delta) \cos(2\theta)]^2 + [(1 - 2\delta) \sin(2\theta)]^2}$$

Variando agora δ e θ obteve-se:

δ dB	θ°	$ 1 - H^{(1)}(s) \cdot H^{(1)}(s) $
0	0	$-\infty$ dB
0	1	-29.14 dB
0	5	-15.17 dB
0	10	-9.18 dB
0	15	-5.72 dB
0	20	-3.29 dB
0.01	0	-34 dB
0.05	0	-20 dB
0.1	0	-14 dB
0.5	0	0 dB
0	90	6 dB

Como se pode observar pela tabela acima, tanto uma pequena variação de δ como de θ , torna esta técnica de linearização³ inútil. Isto porque um desvio tão pequeno

³Por linearização entenda-se um aumento da relação entre a portadora e intermodulação relativamente ao caso em que o VCO_M é não linear e a

PLL é linear $H^{(2)}(s_1, s_2) = \frac{d_{2M}}{d_{1M}} H^{(1)}(s_1 + s_2)$.

como $\delta=0.1\text{dB}$ provoca uma linearização de apenas 14dB, e um atraso de fase de 5° , uma linearização de apenas 15dB.

Portanto, o objectivo a atingir, de modo a melhorar a eficácia do método, é tornar o operador não linear de 1ª ordem unitário com fase 0° , na gama de frequências de interesse.

Como a fase da FTNL de 1ª ordem é bastante dependente do filtro da malha, será realizado, a seguir, um estudo comparativo de vários filtros, usados normalmente em PLL's. Como referências de comparação usam-se duas situações distintas, uma com o VCO_M linear e a PLL não linear, e outra com o VCO_M não linear e a PLL linear. Com estas duas condições, simulam-se as situações mais críticas em que os VCO's são mais diferentes.

B. Análise do desempenho da linearização por utilização de diferentes tipos de filtros

Considere-se o filtro $F(s)$ do tipo:

$$F(s) = \frac{A(s-z_1)(s-z_2)\dots(s-z_n)}{B(s-p_1)(s-p_2)\dots(s-p_n)}. \text{ Obtém-se para a}$$

FTNL de 1ª ordem:

$$H^{(1)}(s) = \frac{c_1 d_1 A(s-z_1)\dots(s-z_n)}{Bs(s-p_1)\dots(s-p_n) + c_1 d_1 A(s-z_1)\dots(s-z_n)}$$

Como se pode observar pela expressão anterior, se o termo

$Bs(s-p_1)\dots(s-p_n) \ll c_1 d_1 A(s-z_1)\dots(s-z_n)$, então atinge-se o pretendido, que é a condição na qual a FTNL de 1ª ordem tem módulo unitário e fase nula.

Particulariza-se agora para diferentes tipos de filtros, escolhidos entre os mais usuais em PLL's.

1. Filtro pólo único

Considerando um filtro do tipo:

$$F(s) = \frac{A}{B(s-p_1)}, \text{ então:}$$

$$H^{(1)}(s) = \frac{c_1 d_1 A}{Bs(s-p_1) + c_1 d_1 A} = \frac{c_1 d_1 A/B}{s^2 - p_1 s + c_1 d_1 A/B}$$

Das expressões anteriores retira-se o valor de $\omega_n = \sqrt{c_1 d_1 \frac{A}{B}}$ e $2\xi\omega_n = -p_1$. Considerando A/B uma constante K (filtro passivo), chega-se à conclusão de que apenas se consegue controlar ξ , perdendo-se o controlo de ω_n , para c_1 e d_1 fixos, ficando assim com uma largura de banda fixa. Portanto, o controlo de ξ , de modo a não se ter pico da resposta na frequência e assim obter uma característica o mais plana possível, apresenta como desvantagem, neste tipo de filtro, uma largura de banda fixa.

2. Filtro pólo-zero

A função de transferência deste filtro é:

$$F(s) = \frac{A(s-z_1)}{B(s-p_1)}, \text{ obtendo-se:}$$

$$H^{(1)}(s) = \frac{c_1 d_1 A(s-z_1)}{Bs(s-p_1) + c_1 d_1 A(s-z_1)} = \frac{c_1 d_1 s A/B - c_1 d_1 z_1 A/B}{s^2 + s(-p_1 + c_1 d_1 A/B) - c_1 d_1 z_1 A/B}$$

Novamente, considerando A/B constante, obtém-se para $\omega_n = \sqrt{-c_1 d_1 z_1 K}$ e $2\xi\omega_n = -p_1 + c_1 d_1 K$. Com este filtro já é possível controlar independentemente a largura de banda, alterando a posição de z_1 , e o factor de amortecimento, alterando p_1 . Mas, como se pode observar pelos gráficos (Fig.9), este filtro produz ainda, na gama de frequências desejada, um atraso de fase considerável.

Em resumo, este filtro fornece ω_n e ξ controláveis, mas tem o mesmo problema de atraso de fase do anterior.

3. Filtro pólo zero, com 1 pólo em DC

$$F(s) = \frac{A(s-z_1)}{Bs}, \text{ então:}$$

$$H^{(1)}(s) = \frac{c_1 d_1 A(s-z_1)}{Bs^2 + c_1 d_1 A(s-z_1)} = \frac{c_1 d_1 A/B(s-z_1)}{s^2 + c_1 d_1 A/B(s-z_1)}$$

pelo que $\omega_n = \sqrt{-c_1 d_1 z_1 \frac{A}{B}}$ e $2\xi\omega_n = c_1 d_1 \frac{A}{B}$.

Neste caso pode-se alterar ω_n variando a posição de z_1 . E, por controlo de A/B , pois este filtro é activo, alterar o valor de ξ , de modo a obter-se o ganho mais plano possível na gama de frequências pretendida. O problema do atraso de fase é minorado por utilização deste tipo de filtro, pois não existe nenhum termo no denominador, além do s^2 , que seja diferente do numerador. Verifica-se assim, mais facilmente, a condição de linearização $Bs^2 \ll c_1 d_1 A(s-z_1)$ anteriormente deduzida.

4. Considerações.

Foram feitas várias simulações para os dois últimos filtros estudados. Desenharam-se alguns gráficos para melhor interpretar os resultados (Fig.9-Fig.14).

Pela análise destes, observa-se que o melhor resultado para a distorção não linear de intermodulação, se obtém para f_2-f_1 . Neste caso, quando $f_2 \approx f_1$ os factores das expressões, 32 e 33, transformam-se em:

$$1 - H(s_1)H(-s_1) = 1 - H(s_1)H^*(s_1) = 1 - |H(s_1)|^2.$$

Como se pode verificar, a alteração é apenas devida a variações de δ e não de θ . Pela comparação entre os gráficos

representativos dos diferentes filtros, observa-se que o 3º filtro é o que apresenta melhores resultados numa gama de frequências que se estende até ω_n . Aí podem conseguir-se melhorias superiores a 15dBc, para a relação sinal distorção de 2ª ordem. Quanto à distorção de 3ª ordem, a nossa atenção debruçou-se preferencialmente sobre as componentes à frequência de $2f_1-f_2$, e $2f_2-f_1$, pois para um sistema de banda modulada, são as únicas componentes de intermodulação que caem dentro da banda. Neste caso, e de modo semelhante ao já verificado para a 2ª ordem, consegue-se o melhor resultado para o 3º filtro, em que melhorias de relação sinal distorção de cerca de 10dBc são possíveis até ω_n .

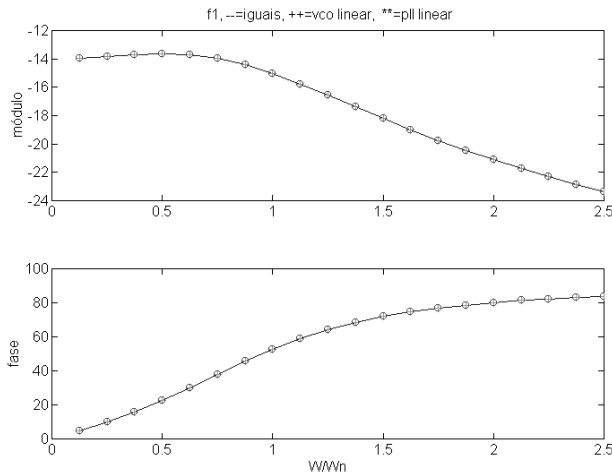


Fig. 9 - FTNL de 1ª ordem, para filtro pólo-zero.

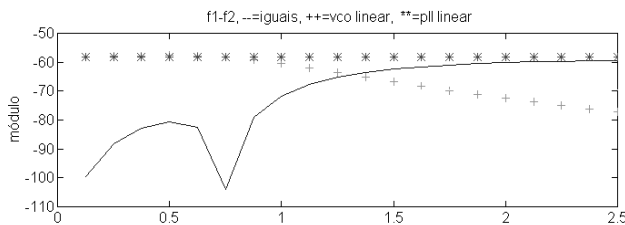


Fig. 10 - FTNL de 2ª ordem, à componente f_1-f_2 , para filtro pólo-zero.

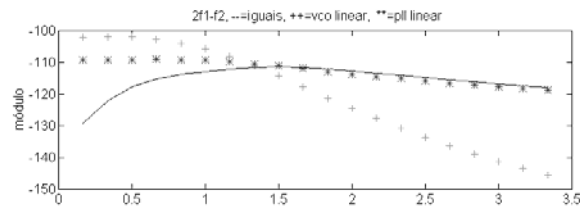


Fig. 11 - FTNL de 3ª ordem, à componente $2f_1-f_2$, para filtro pólo-zero.

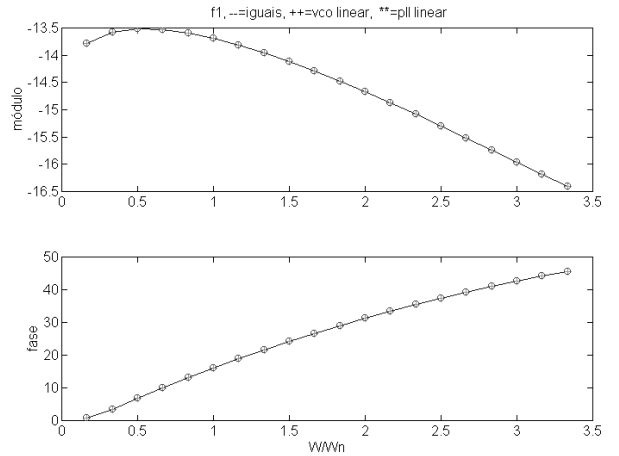


Fig. 12 - FTNL para filtro pólo-zero, com pólo em DC.

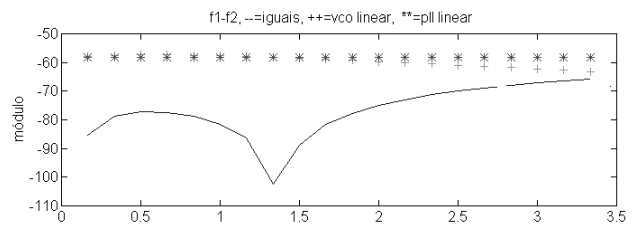


Fig. 13 - FTNL de 2ª ordem, componente em f_1-f_2 , para filtro pólo-zero, com pólo em DC.

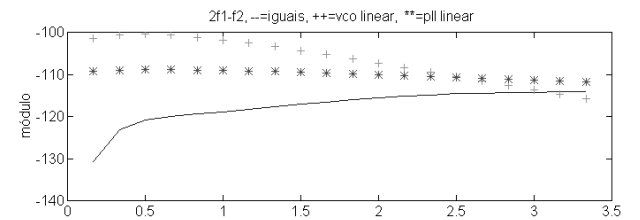


Fig. 14 - FTNL de 3ª ordem, componente em $2f_1-f_2$, com filtro pólo-zero, com pólo a DC.

C. VCO's lineares e PD não linear

Apesar de toda a análise anterior ter sido calculada considerando o detector de fase linear, verifica-se que a ideia qualitativa inicial de linearização é válida, mesmo que o detector de fase seja não linear, como se demonstra utilizando as expressões seguintes.

Se considerarmos os VCO's iguais e lineares, e o detector de fase não linear, obtêm-se:

$$\lim_{s=j\omega \rightarrow 0} H_1(s) = 1$$

$$\lim_{s=j\omega \rightarrow 0} H_2(s_1, s_2) =$$

$$-c_1 \frac{c_2}{c_1} H_1(s_1)H_1(s_2) + c_2 H_1(s_1)H_1(s_2) = 0$$

$$\begin{aligned} \lim_{s=j\omega \rightarrow 0} H_{3T}(s_1, s_2, s_3) &= -c_3 H_{1D}(s_1) H_{1D}(s_2) H_{1D}(s_3) - \\ &- \frac{2}{3} c_2 \sum_{i=1}^3 \sum_{\substack{j=1 \\ i \neq j \neq k}}^3 \sum_{k=1}^3 H_{1D}(s_i) H_{2D}(s_j, s_k) + \\ &+ c_3 H_{1D}(s_1) H_{1D}(s_2) H_{1D}(s_3) + \\ &+ \frac{2}{3} c_2 \sum_{i=1}^3 \sum_{\substack{j=1 \\ i \neq j \neq k}}^3 \sum_{k=1}^3 H_{1D}(s_i) H_{2D}(s_j, s_k) = 0 \end{aligned}$$

Está então teoricamente provado, que se consegue linearizar um sistema modulador, VCO, e desmodulador, PLL, desde que os VCO's sejam exactamente iguais e $\omega \rightarrow 0$, pois é nessa situação que o detector de fase não tem influência na distorção não linear e a FTNL de 1ª ordem tem módulo unitário e fase nula.

VII. CONCLUSÕES

No início deste trabalho foi proposta a modelação não linear de um sistema de modulação/desmodulação de FM, por VCO e PLL. Atingiram-se estes objectivos, e confrontaram-se os seus resultados com os obtidos, usando um simulador do domínio do tempo. Verificou-se que a utilização de séries de Volterra é perfeitamente justificável, sendo ainda mais eficiente devido à sua forma fechada.

Aproveitando as potencialidades proporcionadas pelo tipo de solução analítica encontrada, investigou-se, ainda, a possibilidade de linearização de um sistema de modulação, desmodulação, de FM por PLL, baseada na ideia qualitativa da utilização de dois VCO's iguais.

Conclui-se que, efectivamente, a utilização de dois VCO's iguais, lineariza o sistema, desde que a resposta da PLL cumpra algumas condições. Verificou-se ainda, que a ideia original, também é válida para detectores de fase não lineares, quando $\omega \rightarrow 0$.

Por análise de vários filtros de malha conclui-se que o filtro pólo-zero com pólo a DC, é aquele que fornece melhores resultados até uma gama de frequências de ω_n .

Conseguem-se assim, obter melhorias da relação portadora distorção superiores a 15dBc para a 2ª ordem, e 10dBc para a 3ª ordem, até frequências perto de ω_n .

REFERÊNCIAS

- [1] Nuno Borges de Carvalho e Raquel Castro Madureira, Relatório da disciplina de Projecto do 5º Ano, 1994/1995.
- [2] D. Schilling and M. Smirlock, "Intermodulation Distortion of a Phase Locked Loop Demodulator", IEEE Trans. on Communications Technology, Vol. COM-15, No. 2, pp.222-228, April 1967.
- [3] H. Van Trees, "Functional Techniques for the Analysis of the Nonlinear Behavior of Phase-Locked Loop", Proc. IEEE, Vol. 52, pp.894-911, Aug. 1964.
- [4] J. Klapper and J. Frankle, Phase-Locked and Frequency Feedback Systems, New York: Academic, 1972.
- [5] A. Blanchard, Phase-Locked Loops - Application to Coherent Receiver Design, John Wiley & Sons, Inc., 1976.
- [6] Y. Takahashi and H. Ohmori, "Harmonic Distortion of a PLL FM Demodulator for Periodic Signals", IEEE Trans. on Communications, Vol. COM-28, No. 9, pp.1753-1757, Sep. 1980.
- [7] S. Maas, Nonlinear Microwave Circuits, Artech House, Inc., Norwood, MA, 1988.
- [8] D. Weiner and J. Spina, Sinusoidal Analysis and Modelling of Weakly Nonlinear Circuits, Van Nostrand, NY, 1980.
- [9] Simulab User's Guide, The Math Works, Inc., Natick, MA, Dec. 1991.